

La previsione delle infestazioni dell'Afide del cipresso



Petacchi R.¹, Marchi S.¹, Guidotti D. ²

¹ Scuola S.Anna, Istituto Scienze della Vita – BioLabs

² Aedit Srl

Il 21 ottobre 2015

Raduno mondiale al cinema con
il '*Ritorno al futuro day*'

"Va bene Doc che sta succedendo?
Dove siamo, quando siamo?!"

"Stiamo scendendo verso Hill Valley,
California. **Sono le 16:29 di
mercoledì ottobre 21 anno 2015.**"

"2015? vuoi dire...che siamo nel
futuro!"

INCONTRO TECNICO

Conoscere l'afide per difendere
e tutelare il Cipresso

**“..... Sono le 12:00 di mercoledì
ottobre 21 anno 2015.”**

"Si può prevedere il futuro???"



Doc: "...sono le 12:00 di
mercoledì ottobre 21, anno
2015..."

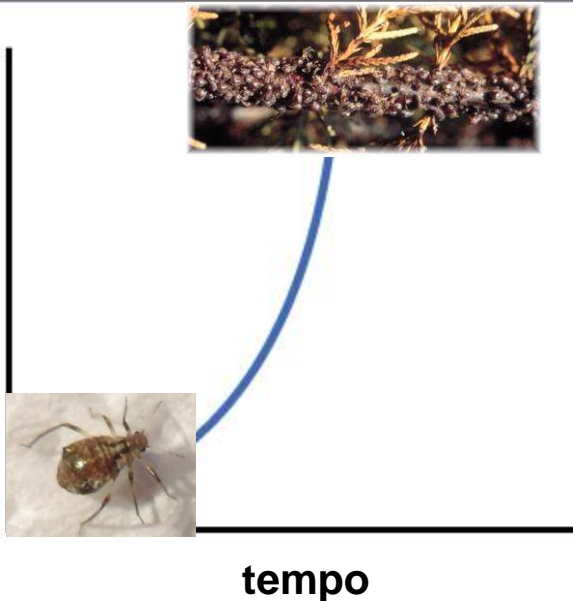
Marty: vuoi dire...che siamo
nel futuro!!!!

Doc: "...no,, siamo all'incontro
tecnico sul Cipresso!!!!"

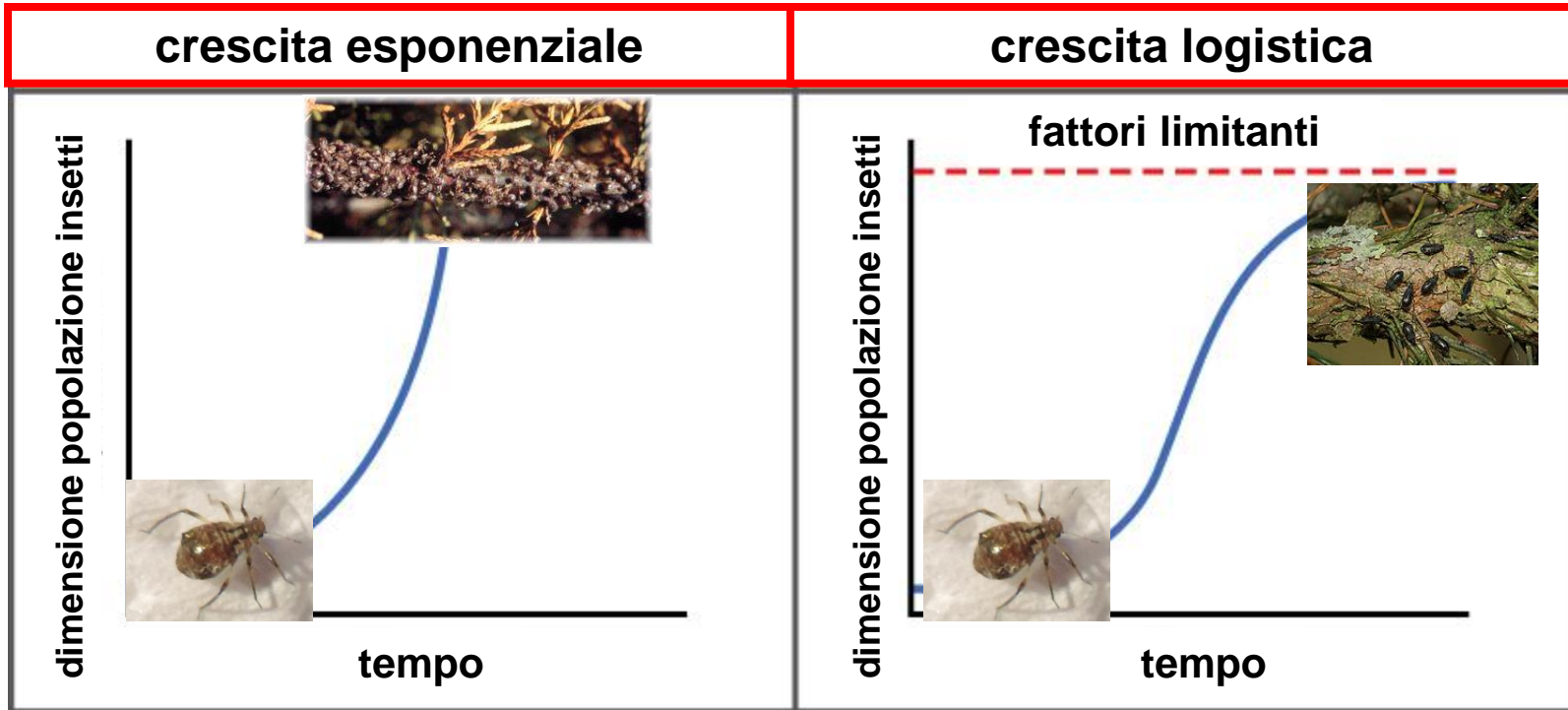
Come si accrescono le popolazioni di insetti

crescita esponenziale

dimensione popolazione insetti



Come si accrescono le popolazioni di insetti

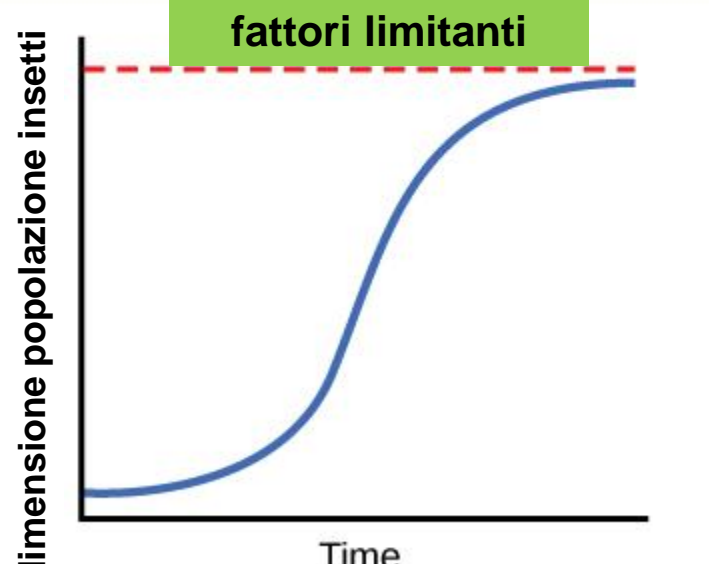


Fattori limitanti

- di tipo fisico (abiotici)
- di tipi biologico (biotici)
- di tipo chimico

**I fattori limitanti
mantengono le popolazioni
di insetti fitofagi a livelli
di popolazione “sotto
soglia” o comunque
contenuta**

crescita logistica



Gli *outbreak* degli insetti fitofagi e dell'Afide del cipresso

Tipi di *outbreak*

1 Introduzione di una specie in una nuova area

2 Crescita di una popolazione "nativa"



**L'outbreak di solito “collassa” per il verificarsi
di uno dei seguenti meccanismi**

1

Distruzione delle risorse

2

Nemici naturali

3

Condizioni climatiche sfavorevoli

1. Modellistica afidi (*outbreak*)

Stato dell'arte



Modelling aphid outbreaks

DOI: 10.1080/00779962.1982.9722392

N. D. Barlow^{ab}

Pages 255-256

Abstract

Three different types of model have been used in the past to forecast aphid outbreaks or to understand their causes. These can be considered as **empirical, synoptic (sensu lato), and functional**.

Empirical models are results of statistical analyses of observed population data, yielding regression equations relating aphid incidence to various other factors.

Synoptic or lumped-parameter models do not distinguish age-classes and generally consist of one or two equations broadly reflecting the underlying biological processes involved. Whalon & Smilowitz (1979) developed such a model to predict the rate of build-up of green peach aphid (*Myzus persicae* Linnaeus) populations on potatoes in Pennsylvania. The aim was to provide advance warning of the need to spray and for the model to be readily implemented on the microcomputers already used by many growers. The single equation is based on the biologically realistic assumption, for an initially low aphid population, of temperature-dependent exponential growth.

Finally functional models are generally computer simulation programs which mimic the biology in detail, taking account of the age-structure of the population, the morphs and quality of its individuals, and the separate effects of all the population processes involved.

While the first 2 models fulfill a tactical, predictive role, functional models have been applied in a more strategic fashion, to evaluate control methods such as the use of natural enemies (e.g., Gilbert & Hughes 1971) and to increase understanding of the pest population's behaviour.

Nature Reports Climate Change
Published online: 12 December 2007



climate.2007.75

Aphid outbreaks

Alicia Newton

Quat. Int. 173-174, 153-160 (2007)

Spruce trees in Britain face threats from human development and pests. A new study shows that climate change may be giving one particular insect pest an upper hand.

In the UK, infestations of the green spruce aphid (*Elatobium abietinum*) have resulted in large losses of spruce foliage and height both during the active infestation and in subsequent years. Angus Westgarth-Smith at Brunel University and colleagues analysed the timing of spring aphid flight period and changes in population size over the last four decades. For 41 years, insects were collected daily in a large suction trap located about 30 kilometres north of London. Over this period, the average number of aphids and length of time they were drinking plant sap increased steadily.

The largest populations and earliest onsets of aphid activity were associated with years with a positive North Atlantic Oscillation (NAO) index. Positive NAO values correspond to warmer atmospheric conditions over Britain. Global warming is thought to increase NAO variability, shifting the system to more positive values. This will probably increase aphid activity, further harming the spruce population.



Clive Carter

<http://onlinelibrary.wiley.com/doi/10.1111/j.1365-2338.1983.tb01603.x/abstract>

Weather and Modelling Cereal Aphid Populations in Norfolk (UK)¹

S.J. WATSON and N. CARTER

Issue

Article first published online: 22 APR 2008

DOI: 10.1111/j.1365-2338.1983.tb01603.x



EPPO Bulletin

Volume 13, Issue 2, pages
223–227, January 1983

.....The role of weather in determining an outbreak of the grain aphid *Sitobion avenae* is discussed in relation to its life cycle. Attention is centred on overwintering survival, and the weather during the spring migration into cereal crops and its effect on subsequent population development. The relationships between the aphid, crop, and weather are investigated using a simulation model.....

<http://www.reeis.usda.gov/web/crisprojectpages/0219323-development-of-outbreak-prediction-models-for-the-improvement-of-russian-wheat-aphid-pest-management-strategies.html>

USDA United States Department of Agriculture
Research, Education & Economics Information System

REEIS MEASURING RESULTS



Source: COLORADO STATE UNIVERSITY submitted to CRIS

DEVELOPMENT OF OUTBREAK PREDICTION MODELS FOR THE IMPROVEMENT OF RUSSIAN WHEAT APHID PEST MANAGEMENT STRATEGIES

Sponsoring Institution	National Institute of Food and Agriculture	Project Status	TERMINATED
		Funding Source	AFRI COMPETITIVE GRANT
Reporting Frequency	Annual	Accession No.	0219323
Grant No.	2009-65104-05705	Project No.	COLO-2009-02178
Proposal No.	2009-02178	Multistate No.	(N/A)
Program Code	91111	Project Start Date	Sep 1, 2009
Project End Date	Aug 31, 2012	Ent Year	2009

La previsione degli *outbreak* dell'Afide del cipresso

La Scuola S.Anna.....

- Previsione *outbreak*: approccio “empirico” ✓
- Approccio “empirico” + dati ciclo biologico di *C.cupressi* ed eventualmente monitoraggio (validazione e calibrazione) 
- Modello spazio-tempo a diversa scala territoriale



Cinara cupressi

Previsione outbreak: approccio empirico



Gli attacchi forti degli ultimi 30-40 anni

(da letteratura divulgativa ed esperienza addetti):

1977- 1978 attacco forte

1990 attacco medio

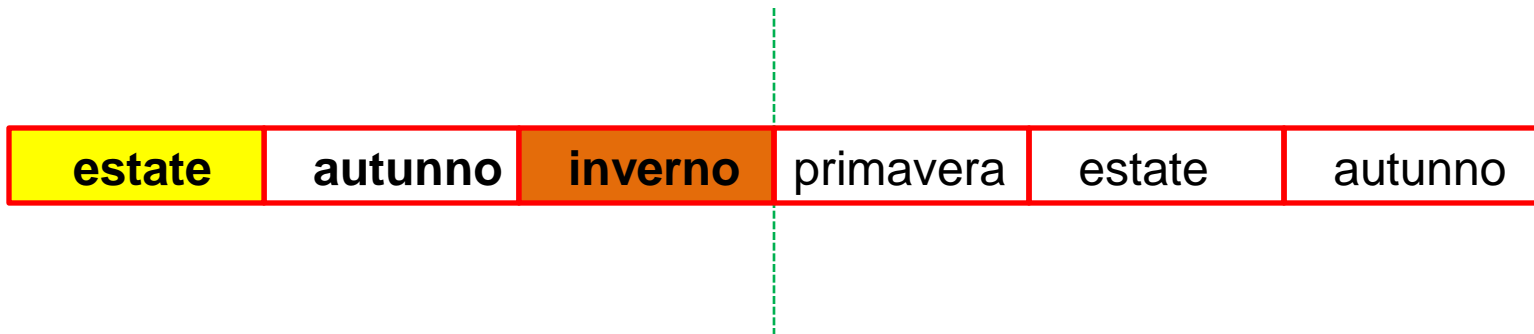
1996 -1997 attacco forte

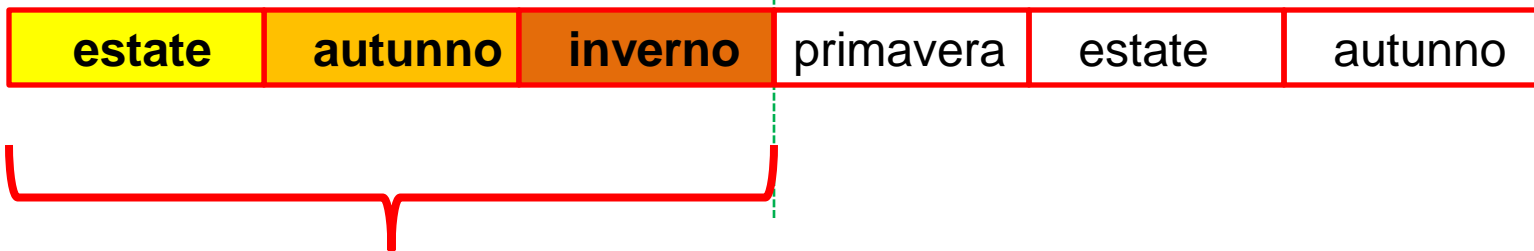
2003 attacco medio

2015 attacco forte

da letteratura divulgativa ed esperienza addetti:

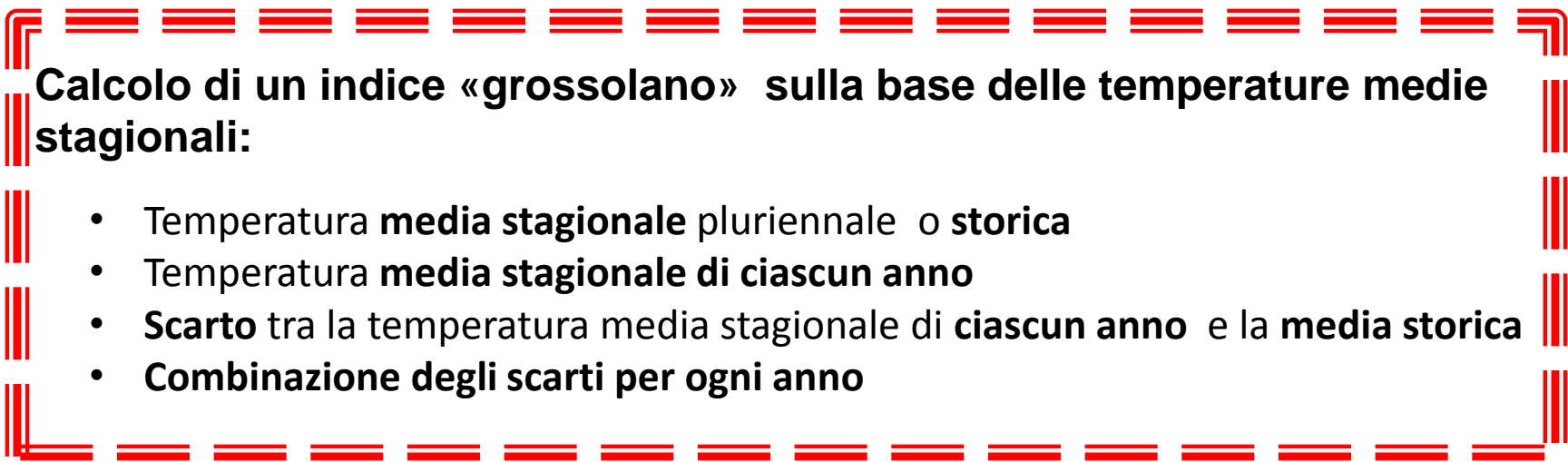
“... gli attacchi forti degli ultimi 30-40 anni si sono avuti quando *ad una precedente estate fresca abbia fatto seguito un inverno alquanto mite*”



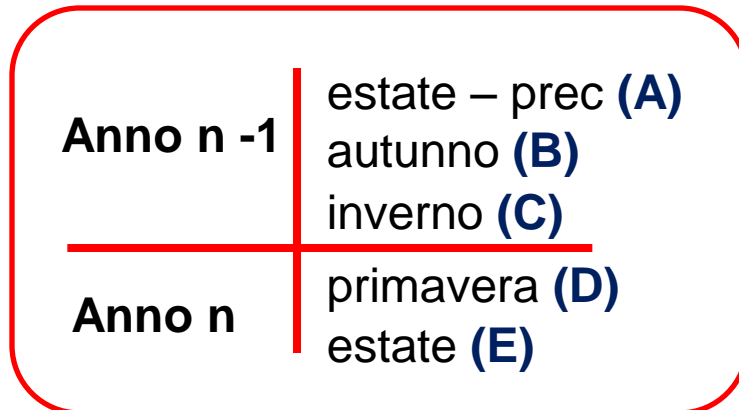


Dati meteo: fonte

serie storica di medie giornaliere di temperatura e pioggia (dal 1976) - stazione di Pisa (Facoltà di Agraria) – rete monitoraggio CENTRO FUNZIONALE REGIONE TOSCANA



Dal 1976 ad oggi



- Temperatura
media stagionale (A,B,C,D,E) pluriennale o **storica**
- Temperatura
media stagionale (A,B,C,D,E) di ciascun anno
- Scarto tra la temperatura media stagionale **(A,B,C,D,E)** di
ciascun anno e la **media storica**
- **Combinazioni** degli scarti per ogni anno (**calcolo di un INDICE**)
 - -A+ B;
 - -A+C;
 - -A+B+C)

	Media					Scarto					-est+inv	-est+aut	-est+aut+inv
	est_pre	aut	inv	pri	est	est_pre	aut	inv	pri	est			indice 1
2015	22,90	16,14	9,16	17,96	25,81	- 0,68	2,32	0,47	1,16	2,15	1,15	2,99	3,46 forte
1977	21,21	13,34	9,78	15,60	21,21	- 2,36	- 0,48	1,08	- 1,20	- 2,45	3,45	1,88	2,97 forte
1997	22,93	14,44	10,38	16,96	24,26	- 0,64	0,62	1,69	0,16	0,60	2,33	1,25	2,94 forte
2007	24,41	15,28	10,41	18,03	22,87	0,84	1,46	1,72	1,23	- 0,79	0,88	0,62	2,34
2014	24,62	14,79	10,99	17,41	22,90	1,04	0,96	2,30	0,61	- 0,76	1,25	- 0,08	2,22
1998	24,26	14,91	10,37	17,82	25,17	0,69	1,09	1,67	1,02	1,51	0,99	0,40	2,08
2001	25,61	16,13	10,23	17,28	23,61	2,04	2,31	1,53	0,48	- 0,05	- 0,50	0,27	1,80
2008	22,87	14,51		18,00	24,74	- 0,70	0,68		1,20	1,08	0,70	1,39	1,39
1978	21,21	12,75	8,74	14,98	21,47	- 2,36	- 1,07	0,05	- 1,82	- 2,19	2,42	1,29	1,35 forte
1994	23,89	14,05	9,60	16,20	24,57	0,32	0,23	0,91	- 0,60	0,91	0,59	- 0,09	0,82
1996	24,02	14,01	9,62	18,00	22,93	0,44	0,18	0,93	1,20	- 0,72	0,49	- 0,26	0,67
1991	23,68	14,07	9,07	14,84	22,85	0,10	0,24	0,38	- 1,97	- 0,81	0,27	0,14	0,52
1982	22,05	13,21	8,23	15,93	23,61	- 1,53	- 0,61	- 0,46	- 0,87	- 0,05	1,07	0,91	0,46
1979	21,47	11,98	8,87	16,02	22,29	- 2,10	- 1,84	0,18	- 0,79	- 1,37	2,28	0,26	0,44
1989			9,04	16,64	23,44			0,35	- 0,16	- 0,21	0,35	-	0,35
1990	23,44	13,15	9,56	16,37	23,68	- 0,13	- 0,68	0,86	- 0,44	0,02	0,99	- 0,55	0,32 media
1993	24,12	14,86	8,45	17,26	23,89	0,55	1,04	- 0,24	0,46	0,23	- 0,78	0,50	0,26
2000	26,45	15,50	10,14	19,99	25,61	2,88	1,68	1,44	3,19	1,95	- 1,43	- 1,20	0,25
2003	23,22	14,30	8,05	18,44	25,69	- 0,36	0,48	- 0,64	1,64	2,03	- 0,28	0,83	0,19 media
2002	23,61	13,84	8,88	16,98	23,22	0,04	0,02	0,19	0,18	- 0,44	0,15	- 0,02	0,17
1980	22,29	13,03	8,15	14,39	21,55	- 1,28	- 0,79	- 0,54	- 2,41	- 2,11	0,74	0,49	- 0,05
1988	24,14	13,87	8,93			0,57	0,05	0,24			- 0,33	- 0,51	- 0,28
1985	21,69	13,69	6,62	16,05	23,57	- 1,88	- 0,13	- 2,07	- 0,75	- 0,09	- 0,19	1,75	- 0,32
1986	23,57	14,01	8,17	16,77	23,75	- 0,01	0,19	- 0,52	- 0,04	0,09	- 0,51	0,19	- 0,33
1995	24,57	14,44	8,72	15,86	24,02	1,00	0,62	0,03	- 0,94	0,36	- 0,97	- 0,38	- 0,35
1992	22,85	12,31	8,93	17,18	24,12	- 0,72	- 1,51	0,24	0,38	0,46	0,96	- 0,79	- 0,55
1987	23,75	13,58	8,36	16,90	24,14	0,17	- 0,24	- 0,33	0,10	0,48	- 0,50	- 0,41	- 0,74
2012	24,38	14,74	7,84	17,49	25,16	0,81	0,92	- 0,85	0,69	1,50	- 1,66	0,11	- 0,74
1999	25,17	13,81	9,52	19,25	26,45	1,60	- 0,01	0,83	2,45	2,79	- 0,77	- 1,61	- 0,78
1976	22,51	12,78	7,88	15,68	21,21	- 1,06	- 1,04	- 0,81	- 1,12	- 2,45	0,25	0,02	- 0,79

Risultato migliore

Indice 1: (- estate precedente + autunno + inverno)



dato di campo

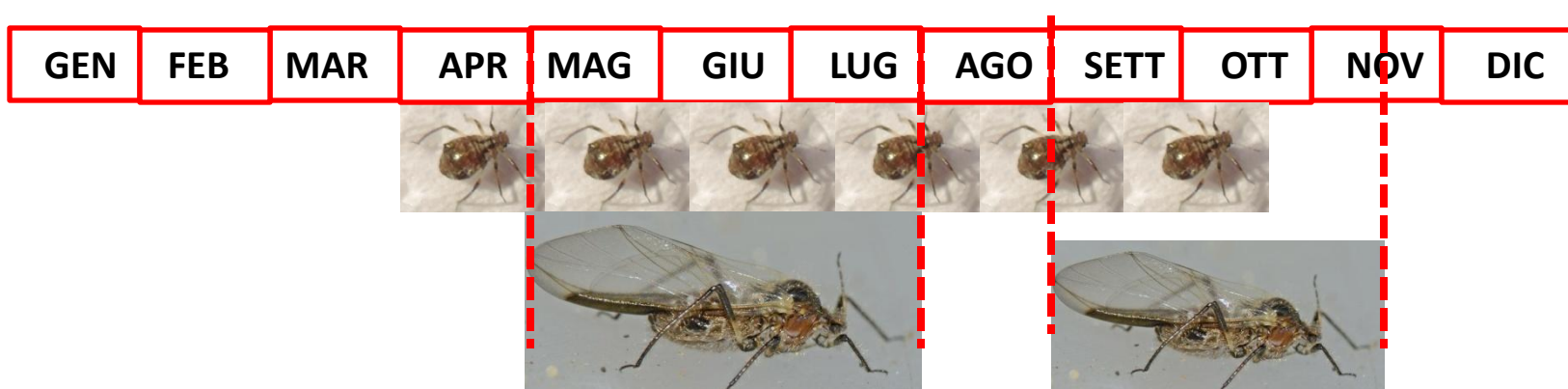
anno	indice 1	Attacco Cinara
2015	3,46	forte
1977	2,97	forte
1997	2,94	forte
2007	2,34	
2014	2,22	
1998	2,08	
2001	1,80	
2008	1,39	
1978	1,35	forte
1994	0,82	
1996	0,67	
1991	0,52	
1982	0,46	
1979	0,44	
1989	0,35	
1990	0,32	media

**Come migliorare questo risultato
per la previsione degli *outbreak***



CLIMA +

CICLO BIOLOGICO



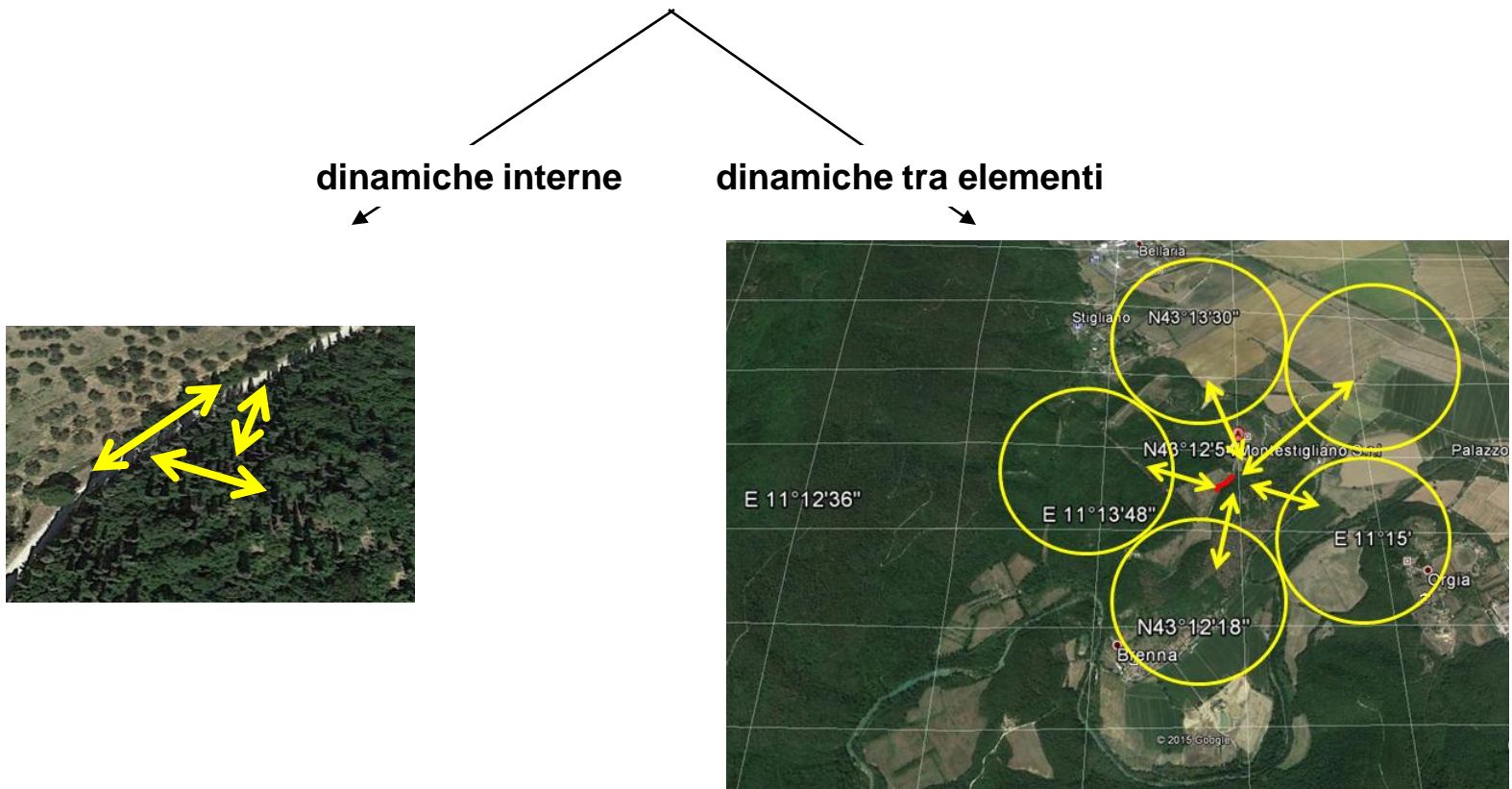
La previsione degli *outbreak* dell'Afide del cipresso

La Scuola S.Anna.....

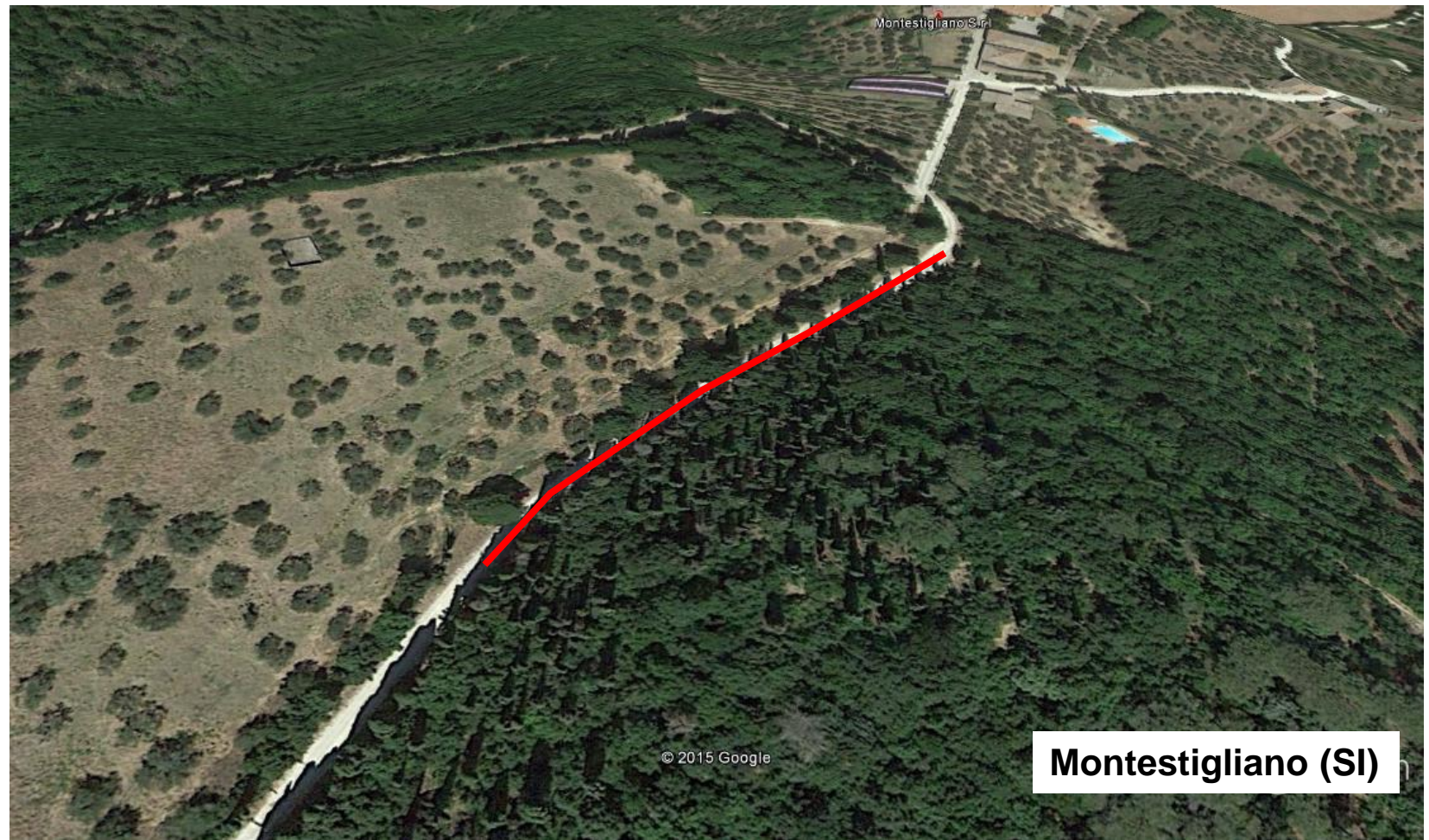
- Previsione *outbreak*: approccio “empirico” ✓
- Approccio “empirico” + dati ciclo biologico di *C.cupressi*, eventualmente monitoraggio (validazione e calibrazione)
- Modello spazio-tempo a diversa scala territoriale



**Sappiamo che le infestazioni di insetti fitofagi rilevate
in un punto sono il risultato dell'interazione di
quel punto con l'esterno in entrata e in uscita**



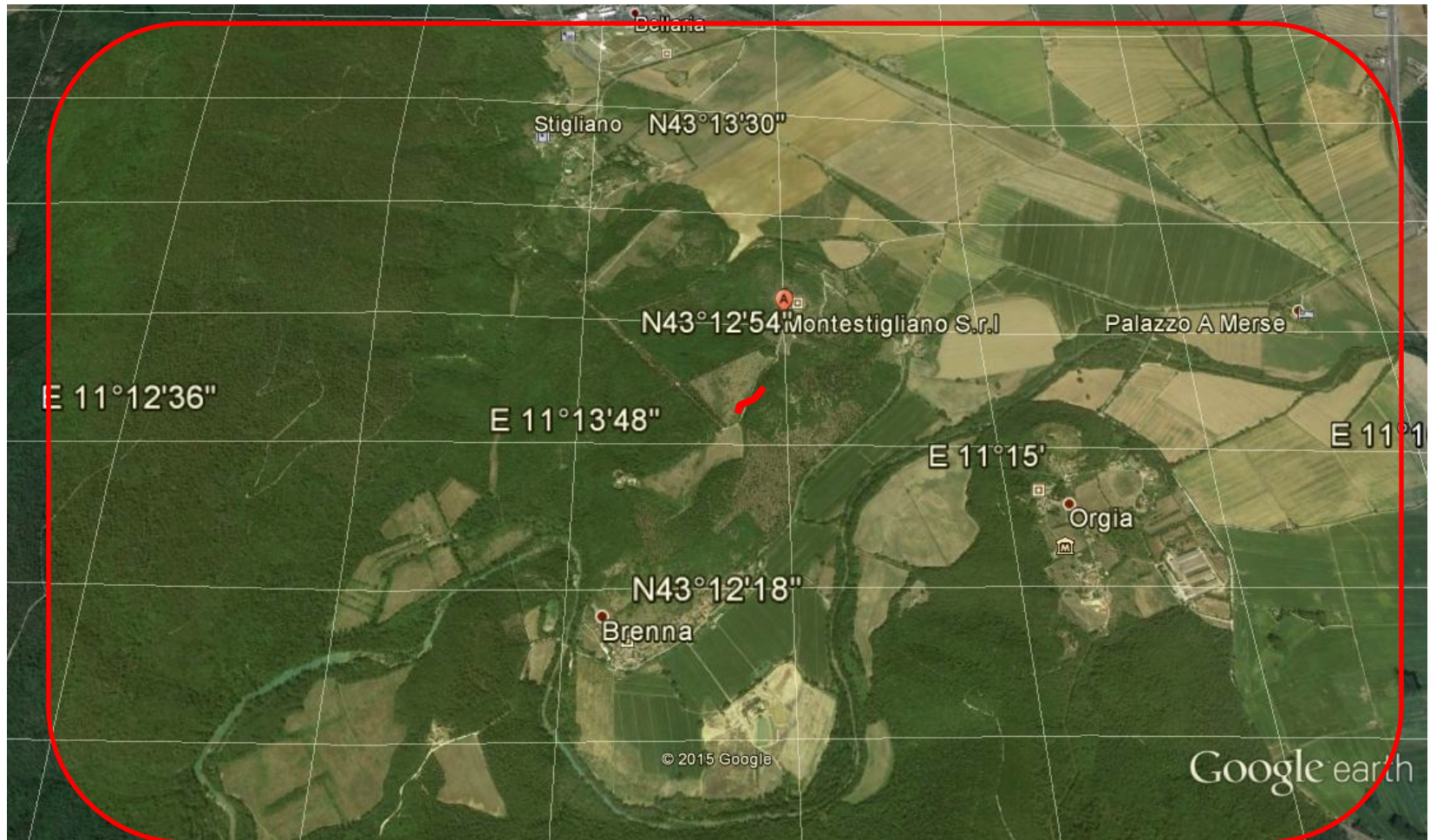
a quale scala ?



A scala di campo ?.....



A scala di azienda ?.....



A scala di area vasta ?.....

La Scuola S.Anna

<http://www.quessa.eu/>

The screenshot shows the homepage of the QuESSA project website. At the top left is the European Union flag. Next to it is the logo for "COOPERATION 7", which features a stylized red and blue "7" shape above the word "COOPERATION". To the right of these are the years "2013" and "2017". Between the years is the QuESSA logo, which consists of a green leaf-like shape next to the word "QUESSA" in green capital letters. Below the logo is the project title: "Quantification of Ecological Services for Sustainable Agriculture". At the bottom of the page, there is a footer section with the "SEVENTH FRAMEWORK PROGRAMME" logo and text stating: "The QuESSA project is funded by the European Commission through the Seventh Framework Programme. Contract Number 311879".

QuESSA

Blog

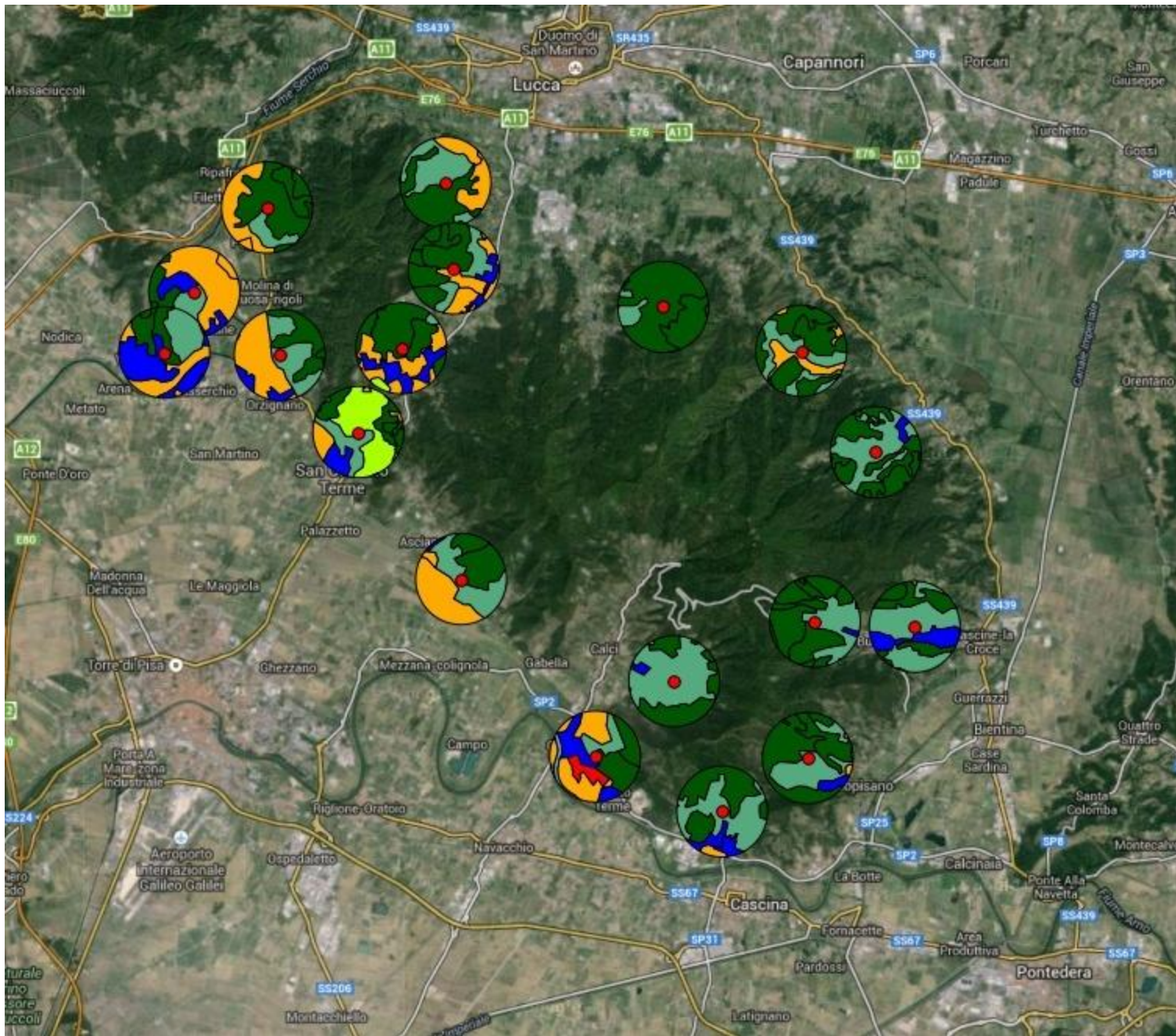
The Project

Project Organisation

The Partners

SEVENTH FRAMEWORK PROGRAMME

The QuESSA project is funded by the European Commission through the Seventh Framework Programme. Contract Number 311879





Grazie per l'attenzione

Grazie per l'attenzione

Grazie per l'attenzione

Grazie per l'attenzione

Grazie per l'attenzione

Grazie per l'attenzione

Grazie per l'attenzione

Grazie per l'attenzione

Grazie per l'attenzione